



INTERNATIONAL ATOMIC ENERGY AGENCY
UNITED NATIONS EDUCATIONAL SCIENTIFIC AND CULTURAL ORGANIZATION



INTERNATIONAL CENTRE FOR THEORETICAL PHYSICS
34100 TRIESTE (ITALY) - P.O. B. 580 - MIRAMARE - STRADA COSTIERA 11 - TELEPHONE: 2240-1
TELEFONICENTRATOM - TELEX 466302-1

H4.SMR/193 - 50

"COLLOQUE INTERNATIONAL SUR LA SCIENCE DES MATERIAUX POUR L'ENERGIE".

(26 août - 11 septembre 1986).

"ABSORBEURS SELECTIFS DE L'ENERGIE SOLAIRE A MOYENNES TEMPERATURES".

Brahim Yous
Faculté des Sciences
Agadir, Maroc

Absorbeurs Selectifs de l'Energie Solaire à Moyennes Températures.

par : YOUS Brahim
Faculté des Sciences Agadir
MAROC.

Résumé :

Des couches minces de composés de tungstène ont été préparées à température élevée ($400-480^{\circ}\text{C}$), par décomposition chimique en phase Vapeur de l'hexacarbonyle de tungstène à pression atmosphérique, en présence ou non de l'oxygène.

Le tungstène "noir" obtenu à 400°C en présence d'oxygène présente une bonne absorptivité solaire ($\alpha \approx 0,95$), mais une mauvaise émissivité à 400°C ($e \approx 0,54$). Le tungstène réflecteur préparé à 480°C , sans effet d'oxygène possède des caractéristiques inverses: mauvaise absorptivité ($\alpha \approx 0,49$), mais une émissivité à 400°C correcte ($e \approx 0,11$).

Trois voies sont proposées pour améliorer la sélectivité spectrale de ces matériaux en vue d'une application en conversion photothermique de l'énergie solaire à moyennes températures. Ces couches présentent un plus de bonnes sélectivités spectrales intéressantes, une bonne stabilité thermique et mécanique.

I - Introduction :

L'énergie solaire absorbée dans les systèmes à concentration constitue une source d'énergie importante, dans la mesure où l'on peut atteindre des températures relativement élevées avec des absorbeurs ayant un rendement satisfaisant. Il est donc important de trouver des surfaces sélectives qui permettent de minimiser les pertes radiatives infrarouges tout en conservant une absorption élevée pour le spectre solaire, ceci pour des matériaux possédant une bonne stabilité thermique et mécanique à long terme et à hautes températures.

II - Méthodes d'obtention de surfaces sélectives.

Les divers procédés physiques susceptibles de conduire à la sélectivité solaire sont groupés dans les catégories suivantes [1, 2] :

- matériaux intrinsèques.
- empilement absorbant - réflecteur.
- filtres interférentiels.
- texture de la surface
- effet de diffusion en volume (cermet).

Dans la nature il n'existe pas de matériaux possédant des propriétés idéales de sélectivité solaire. Toutefois une certaine sélectivité intrinsèque peut être obtenue sur des composés de métal de transition. En effet pour ces métals le bord de réflexion, où un plasma, peut être déplacé vers l'infrarouge par effet de centres

de diffusion [3, 4] ou par combinaison chimique avec des éléments tels que l'oxygène, l'azote, le carbone ou le bore [5, 6]. De plus ces matériaux sont caractérisés par une grande valeur de l'énergie de cohésion, ce qui est essentiel pour leur stabilité thermique.

A défaut d'obtenir un matériau sélectif unique, les autres voies ont été utilisées notamment les taules absorbants-réflecteurs [7], la texture de la surface [8] et les matériaux composites [2, 9].

III. Couches sélectives de composés de tungstène.

Des travaux [10] sur la structure, la composition et les propriétés optiques de couches minces de composés de tungstène montrent que les caractéristiques de sélectivité dépendent étroitement des conditions de préparation et de recuits. Nous avons proposé plusieurs types de taules [11, 12] obtenu par combinaison du caractère absorbant du tungstène noir et réfléchissant du tungstène réflecteur et par l'utilisation de l'oxyde de tungstène WO_3 comme couche anti-rayonnement protectrice.

Ces taules présentent en plus d'autres intérêts : d'une part préparés dans une seule couche, elles nécessitent qu'une variété de température de support et de pression purgée d'oxygène, d'autre part formées de ~~des~~ matériaux refractaires élastiques entre eux, ils supportent des recuits cycliques sous atmosphère pure [11, 12].

Lorsque la texture de la surface est prise en compte, un accord assez satisfaisant est obtenu entre les résultats théoriques, obtenus par application des théories de milieux inhomogènes, et les multicouches [12].

II - Résultats expérimentaux :

Sur la figure 1 nous avons porté, pour comparaison, les variations du pouvoir reflecteur-hémisphérique d'une couche sélective isolée (- - -) d'une couche de tungstène reflecteur (XR) obtenue à 480°C , d'une couche de tungstène noir (XN) préparée à 400°C , ainsi que de l'échantillon "tandem", possédant les meilleures caractéristiques de sélectivité parmi les trois sortes de tandem que nous avons préparés à savoir :

- couche de tungstène noir recuite 15 minutes sous hypogénie à 800°C (tandem réflecteur-absorbeur R/A).
- couche de 500 \AA de tungstène noir sur couche de tungstène réflecteur obtenue à 480°C (tandem absorbeur-réflecteur XN/XR).
- enfin couche de tungstène réflecteur préparée à 480°C et oxydée dans l'air à 450°C (tandem couche anti-reflet-réflecteur XR/R).

Les valeurs des absorbances et émissivités fournies par ces couches sont rassemblées dans le tableau donné sur la même figure.

On constate que chacune des trois espèces de tandem présente une meilleure sélectivité que le matériau "noir" ou "réflecteur" pris séparément.

La première méthode nécessite de recuits sous hypogénie à haute température ce qui oblige, en plus des précautions nécessaires à chaque type de recuit, l'utilisation de supports à propriétés thermiques proches de celle du matériau déposé.

La deuxième voie présente certains avantages sur les autres. Nous n'avons au niveau de la technique de

préparation, les deux couches formant le tandem absorbeur-réflecteur sont préparées l'une après l'autre dans la même enceinte. Il est seulement nécessaire de faire varier la température du support et la nature du gaz. Ensuite, les deux couches étant formées de matériaux refractaires compatibles entre eux supportent de recuits cycliques à 400°C dans atmosphère instable.

La troisième voie enfin est aussi simple pour la préparation des échantillons et fournit des résultats concernant la sélectivité comparables. Cependant on peut croire que l'oxydation superficielle continue à progresser dans le temps, entraînant une dégradation des caractéristiques de sélectivité. Cette hypothèse reste à vérifier.

Sur la figure 2 sont portées les variations en fonction de la longueur d'onde du pouvoir reflecteur-hémisphérique du tandem absorbeur-réflecteur (XR/XR) avant recuit (-) et après quatre recuits cycliques de quatre heures sans argon à 400°C (---).

On observe que une très légère variation de R_H après recuits sans incidences marquantes sur les paramètres de sélectivité.

Sur la figure 3, nous avons porté les variations en fonction de la longueur d'onde du pouvoir reflecteur du tandem expérimental XN/XR (500 \AA de tungstène noir sur une couche de tungstène réflecteur) (courbe b), 500 \AA de tungstène noir sur support de tungstène massif (courbe c) et du tandem théorique : couche de W/O_2 de profondeur de rugosité de 1 \mu sur tungstène massif (courbe d).

On observe une certaine différence dans la position des franges d'interférences dans le domaine visible et le proche infrarouge et une reflectivité plus grande dans l'infrarouge que

l'ordre pour le modèle théorique. Ceci s'explique par le fait que nous avons considéré le tungstène massif dans les calculs théoriques au lieu du tungstène reflecteur.

I. Conclusion :

Le tungstène noir et réflecteur pris séparément ne possèdent pas de caractéristiques de sélectivité satisfaisantes. La combinaison des caractéristiques absorbante du tungstène noir et réflectrice du tungstène réflecteur a amélioré notablement la sélectivité de ces matériaux.

7 Références

- 1- H. TABOR, Trans. Conf. Use-Sol. Energy, Tucson Arizona volume 2, Part I, sect. A, p. 32 (1975).
- 2- J. SPITZ, A. ALBERT, J.M. BEHAGHEL, S. BERTIER, J. LAFAIT, J. RIVORY, Revue de Physique Appliquée 14 (1979) 67.
- 3- R.A. BUHRMAN, H.G. CRAIGHEAD, Composite films "Selective Absorbers", in "Solar Materials Science", edited by L.E. Murr (Academic, New York, 1980).
- 4- C.G. GRANqvist, J. Appl. Phys. 50 (1979) 2916.
- 5- G.L. HARDING, J. Vac. Sci. Technol. 13 (1976) 1070.
- 6- M. SIGRIST, G. CHASSANG, J.-C. FRANGIN, P. GRAVIER, L. ARMAND, R. PIERRISARD, L. ROUX, D. PAULHARZY, P. KAYOUN, J. Chevalier, J. Phys. 42 (1981) 41-453.
- 7- B.O. SERAPHIM, V.A. WELLS, Int. Conf. The Sun in MINIMOL Service, Paris-France 1975.
- 8- D.G. PETIT, J.-J. CUOMO, T.H. DISTEFANO, J.H. XICODALL, IBM Res. Rev. 22 (1978) 372.
- 9- C. SELLA, TRAN KANTH VIEN, J. LAFAIT, S. BERTIER, Thin solid films 90 (1982) 425.
- 10- B. YOUS, A. DONNADIEU et S. ROBIN, J. Phys. 44 et J. ROBIN, Thin solid films 130 / 181 (1985).
- 11- B. YOUS, M. CHAFIK EL IDRISI et A. DONNADIEU, Thin solid films 130 / 17 (1985).
- 12- B. YOUS, Thèse d'Etat, Montpellier 1985.

	WR	R/A	AR/R	WN/WR	WN
a	0,49	0,78	0,78	0,92	0,95
$\epsilon_{400^\circ\text{C}}$	0,11	0,12	0,16	0,34	0,54

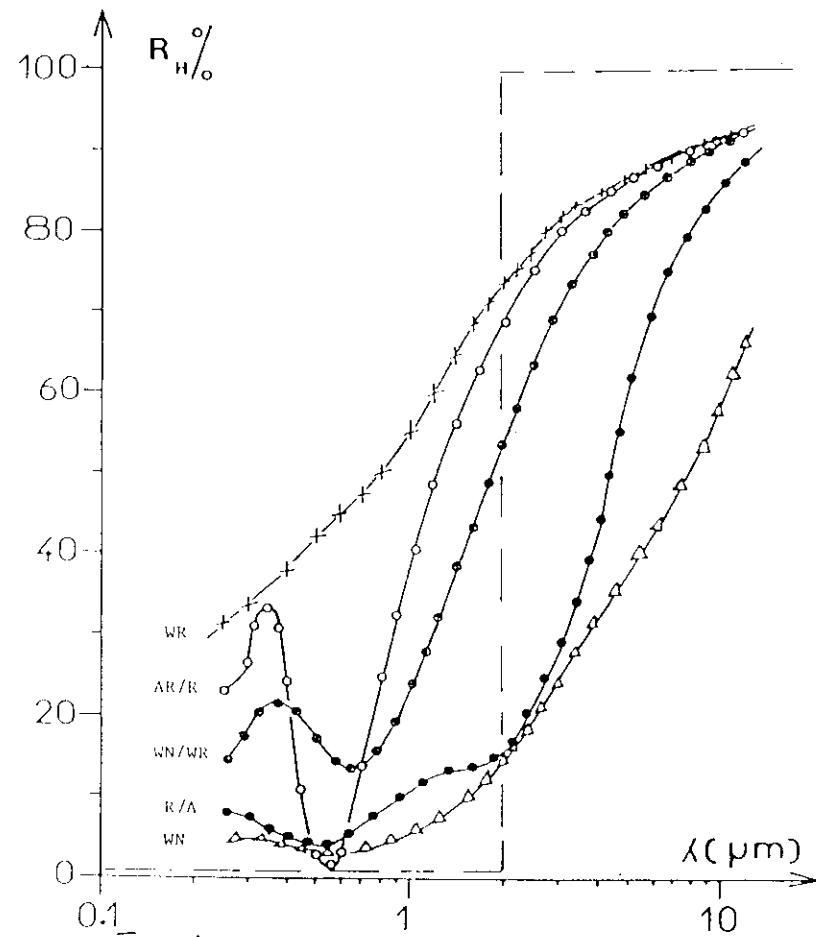


Figure 1: Variations du pouvoir réflecteur hémisphérique d'une couche sélective idéale (---) de deux couches de tungstène réflecteur l'une obtenue à 480°C (WR), l'autre obtenue à 580°C et recuite dans l'air à 450°C (AR/R), du tandem WN/WR, d'une couche de tungstène noir recuite dans l'hydrogène à 800°C pendant 15 minutes (R/A), d'une couche de tungstène noir (WN).

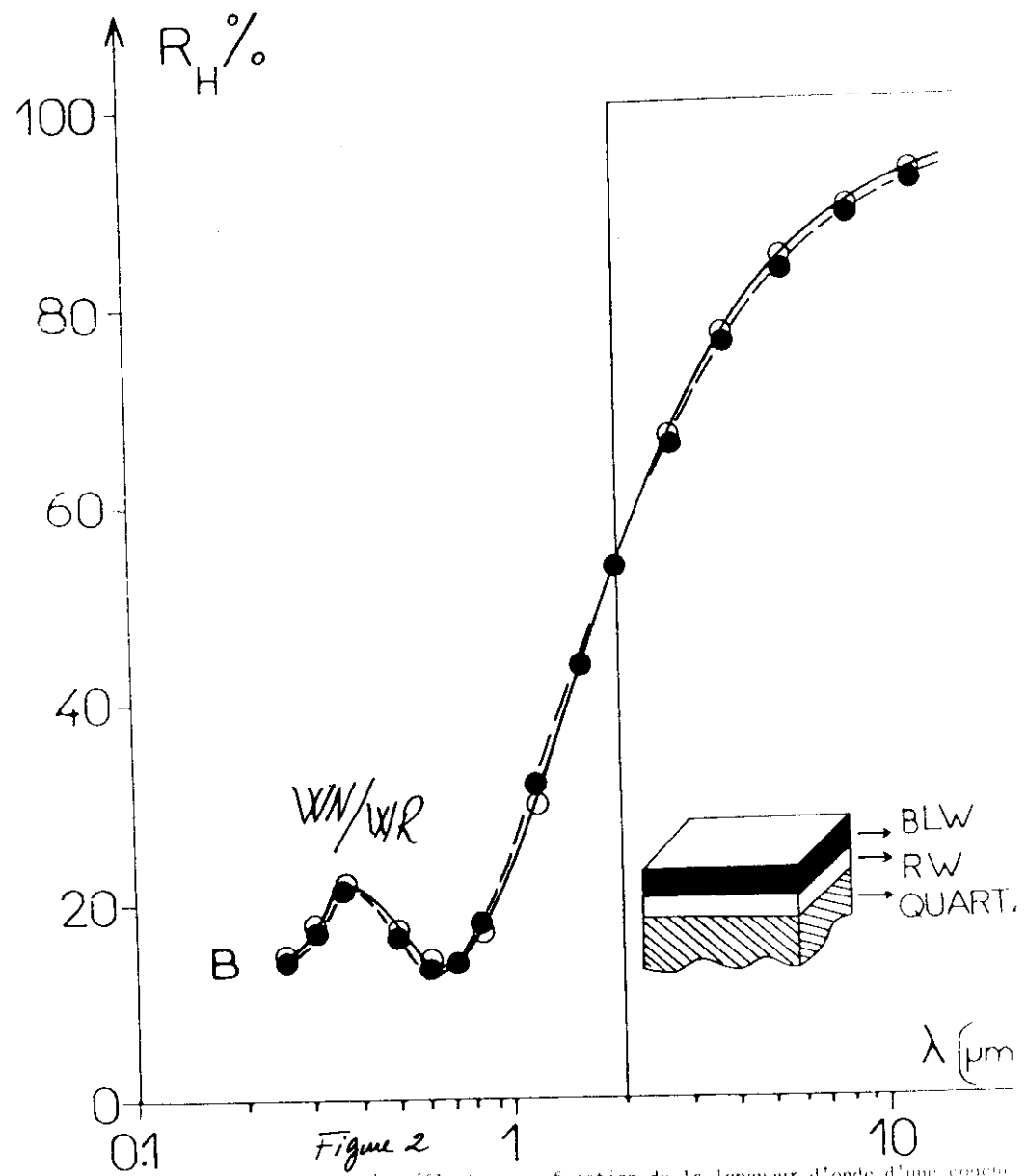


Figure 2
Variations du pouvoir réflecteur en fonction de la longueur d'onde d'une couche sélective idéale et du tandem tungstène noir (500 Å) sur tungstène réflecteur avant le recuit (—) et après des recuits cycliques à 400°C pendant 5 heures sous atmosphère d'argon (---).

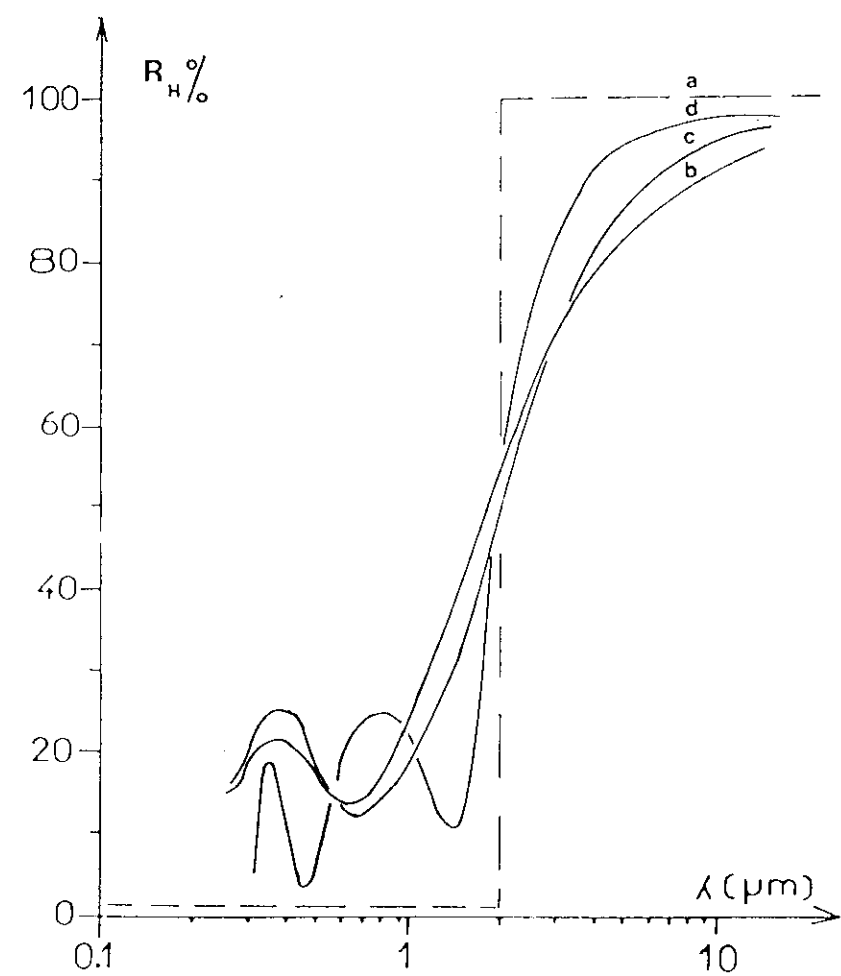


Figure 8: Variations en fonction de la longueur d'onde du pouvoir réflecteur d'une couche sélective idéale (a) ; du tandem WN d'épaisseur 500 \AA sur RR obtenues expérimentalement (b) et calculé (d) et d'une couche de 500 \AA d'épaisseur de WN sur un support de RR (c).